

## 邊界法による台形板の解析について

北海道大学工学部 正員・芳村 仁  
日本鋼管 正員・神 信 昭

## 1. まえがき

曲げをうけた平板の解析は境界条件、荷重条件などにより厳密解をうつことが困難なことが多い。工学上の問題として種々の形状、条件を有する板構造を解析する必要も多く、電算機による種々の解法も進められていく。本報告では道路橋床版などに現われた台形板、平行四辺形板などによる解析を行ないその精度についての検討と台形板の応力性状について述べたものである。

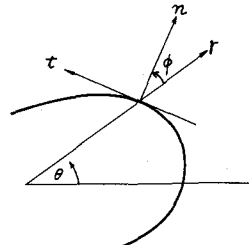
2. 邊界法 この方法は平板の方程式を満足する一般解を極座標で表わし、その有限項で近似し、周辺上の有限個の角で周辺上の条件を満足させる方法である。この方法による解析については従来からも種々に行なわれ、著者らは円孔周辺に荷重をねらう三辺固定一辺自由の矩形および扇形板の解析を行なった。ここでは円形部分載荷による周辺に実施された平行四辺形板、台形板などを扱いその特性を検討した。

3. 基本式 原典と円形荷重の中心にとり極座標表示の平板の基礎微分方程式  $\Delta w = \frac{P}{D}$  ( $\therefore w = \text{たわみ}$ ,  $P = \text{荷重}$ ,  $D = Eh^3/12(1-\nu^2)$ ,  $E = \text{弾性係数}$ ,  $h = \text{板厚}$ ,  $\nu = \text{ボアソン比}$ ) の解から有孔板のたわみの式と荷重分布荷重の場合の解式を求め、 $r = r_0$  ( $r_0 = \text{荷重の半径}$ ) で連続条件を入れて解くと円形荷重が作用した平板の非載荷部分のたわみの式は次のようにな。

$$w = \frac{q_0}{64D} \left( 8r_0^2 r^2 \ln \frac{r}{r_0} + 4r_0^4 \ln \frac{r}{r_0} + 5r_0^4 - 4r_0^4 - 4r_0^2 r^2 \right) + \\ + a_0 + C_0 r^2 + \sum_{n=1}^{\infty} (a_n r^n + C_n r^{n+2}) \cos n\theta + \sum_{m=1}^{\infty} (e_m r^m + g_m r^{m+2}) \sin m\theta \quad (1)$$

ここで  $q_0 = \text{荷重強度}$ ,  $D = \text{板の曲げ剛性}$

次に図-1のように、板の境界における法線方向と接線方向の断面力を求めるところのようである。



$$-\frac{M_m}{D} = \frac{q_0 r^2}{16D} \left\{ 2(1+\nu)(2 \ln \frac{r}{r_0} + 1) + (1+\nu)(2 - r_0^2 r^2) \cos 2\phi \right\} +$$

$$+ \sum_{n=0}^{\infty} \left[ (1-\nu)n(n-1)a_n r^{n-2} \cos(n\theta + 2\phi) + (n+1)\{(1-\nu)n \cos(n\theta + 2\phi) + 2(1+\nu) \sin(n\theta)\}C_n r^n \right] +$$

図-1

$$+ \sum_{m=1}^{\infty} \left[ (1-\nu)n(n-1)e_m r^{n-2} \sin(n\theta + 2\phi) + (n+1)\{(1-\nu)n \sin(n\theta + 2\phi) + 2(1+\nu) \cos(n\theta)\}g_m r^n \right] \quad (2)$$

$$-\frac{M_t}{D} = -\frac{q_0 r^2}{16D} \left\{ 2(1+\nu)(2 \ln \frac{r}{r_0} + 1) - (1-\nu)(2 - r_0^2 r^2) \cos 2\phi \right\} -$$

$$- \sum_{n=0}^{\infty} \left[ (1-\nu)n(n-1)a_n r^{n-2} \cos(n\theta + 2\phi) + (n+1)\{(1-\nu)n \cos(n\theta + 2\phi) - 2(1+\nu) \sin(n\theta)\}C_n r^n \right]$$

$$- \sum_{m=1}^{\infty} \left[ (1-\nu)n(n-1)e_m r^{n-2} \sin(n\theta + 2\phi) + (n+1)\{(1-\nu)n \cos(n\theta + 2\phi) - 2(1+\nu) \sin(n\theta)\}g_m r^n \right] \quad (3)$$

$$-\frac{m_{nt}}{D} = -\frac{g_0 r_0^2}{16 D} (1-v)(2-r_0^2 r^{-2}) \sin 2\phi - \sum_{n=0}^{\infty} \left\{ (1-v)n(n-1)a_{nr} r^{n-2} + (1-v)n(n+1)c_{nr} r^n \right\} \sin(n\theta+2\phi) + \sum_{n=1}^{\infty} \left\{ (1-v)n(n-1)e_{nr} r^{n-2} + (1-v)n(n+1)g_{nr} r^n \right\} \cos(n\theta+2\phi) \quad (4)$$

$$-\frac{T_m}{D} = \frac{g_0 r_0^2 r^{-1}}{8D} \left\{ (1-v)(1-r_0^2 r^{-2}) \cos 3\phi + (5-v) \cos \phi \right\} - \sum_{n=0}^{\infty} \left[ (1-v)n(n-1)(n-2)a_{nr} r^{n-3} \cos(n\theta+3\phi) + (n+1)n c_{nr} r^{n-1} \left\{ (1-v)(n-1) \cos(n\theta+3\phi) - (5-v) \cos(n\theta+\phi) \right\} \right] \quad (5)$$

$$-\frac{T_x}{D} = -\frac{g_0 r_0^2 r^{-1}}{8D} \left\{ (1-v)(1+r_0^2 r^{-2}) \sin 3\phi + (5-v) \sin \phi \right\} - \sum_{n=0}^{\infty} \left[ (1-v)n(n-1)(n-2)a_{nr} r^{n-3} \sin(n\theta+3\phi) + (n+1)n c_{nr} r^{n-1} \left\{ (1-v)(n-1) \sin(n\theta+3\phi) + (5-v) \sin(n\theta+\phi) \right\} \right] + \sum_{n=1}^{\infty} \left[ (1-v)n(n-1)(n-2)e_{nr} r^{n-3} \cos(n\theta+3\phi) + (n+1)n c_{nr} r^{n-1} \left\{ (1-v)(n-1) \cos(n\theta+3\phi) + (5-v) \cos(n\theta+\phi) \right\} \right] \quad (6)$$

また、たわみ角の式は次のようになる。

$$\begin{aligned} \frac{\partial w}{\partial n} &= \frac{g_0 r_0^2}{16 D} (4r \ln \frac{r}{r_0} + r_0^2 r^{-1}) \cos \phi + \\ &+ \sum_{n=0}^{\infty} \left[ n a_{nr} r^{n-1} \cos(n\theta+\phi) + c_{nr} r^{n+1} \left\{ (n+1) \cos(n\theta+\phi) + \cos(n\theta-\phi) \right\} \right] + \\ &+ \sum_{n=1}^{\infty} \left[ n e_{nr} r^{n-1} \sin(n\theta+\phi) + g_{nr} r^{n+1} \left\{ (n+1) \sin(n\theta+\phi) + \sin(n\theta-\phi) \right\} \right] \end{aligned} \quad (7)$$

#### 4. 正方形板

全周固定の正方形板で荷重中  
Nと板中央が一致した場合のたわみおよび曲げモーメントについて  
級数解と比較したものである。  
(表-1)

#### 5. U形板

図-2に全辺単純支持のU形板で  
θ=40°のときのたわみおよび  
断面力をr\_0=  $\frac{a}{20}$ について  
求めた結果である。図-3はθ=30°の全周固定板のたわみおよび

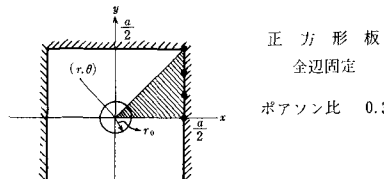
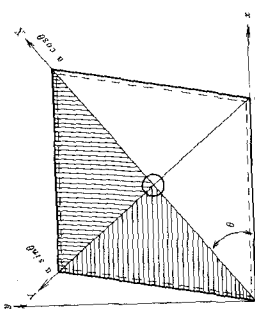


表-1

境界条件を満す点の数	$\frac{w D}{q_0 a^4}$ at (0,0)			$-\frac{M_x}{q_0 a^2}$ at ( $\frac{a}{2}, 0$ )		
	$r_0 = 0.05a$	$r_0 = 0.01a$	$r_0 = 0.005a$	$r_0 = 0.05a$	$r_0 = 0.01a$	$r_0 = 0.005a$
3	0.4087 $\times 10^{-4}$	0.1680 $\times 10^{-4}$	0.4205 $\times 10^{-4}$	0.1904 $\times 10^{-4}$	0.1284 $\times 10^{-4}$	0.3773 $\times 10^{-4}$
4	0.4329	0.1778	0.4449	0.1926	0.1293	0.3795
5	0.4287	0.1761	0.4406	0.1918	0.1290	0.3787
6	0.4286	0.1760	0.4406	0.1918	0.1290	0.3787
7	0.4286	0.1760	0.4406	0.1919	0.1290	0.3787
$P = \frac{\pi r_0^2 q_0}{\times P a^2 / D}$	0.5457 $\times 10^{-4}$	0.5603 $\times 10^{-4}$	0.5609 $\times 10^{-4}$	0.1252	0.1258	0.1258
級数解との誤差	0.77%	0.00%	0.18%	0.40%	0.08%	0.08%

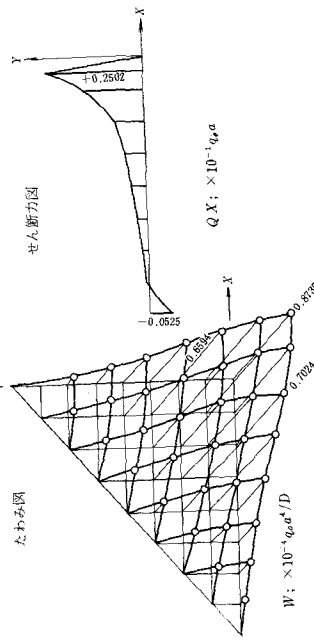
断面力を示したものである。これも収束は8~9莫で十分良好な結果が得られている。

6. 台形板 図-4は台形板に満載荷重が作用したときのA-A', B-B'上の曲げモーメントをθの変化に対するものであり、θ=0°に比較してθ=20°ではX方向最大曲げモーメントは29%、Y方向最大曲げモーメントは16%減少している。図-5は全辺単純支持の台形板に円形荷重が(x, y)=(9/4, 9/4)に作用したときの第①へ莫⑤のたわみの収束状態を示す図である。比較的収束の悪い位置であるが25莫へ33莫へ良い結果が得られている。また曲げモーメントの収束はたわみより遅い部分もあるが、33莫から良くなっている。

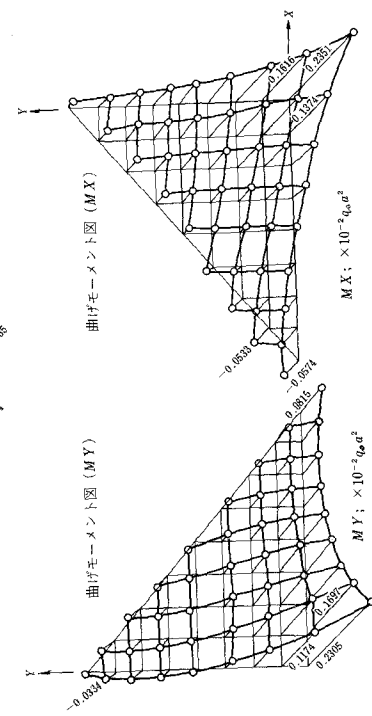


$V = 0.3$   
 $r_o = 0.05a$   
 載荷位置  $(X, Y) = (0, 0)$   
 $\theta = 40^\circ$   
 全辺単純支持

Coordinate Systems

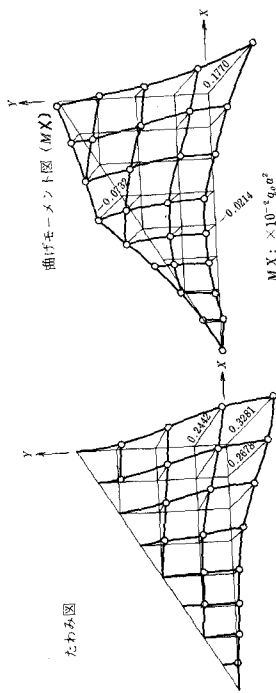


せん断力図



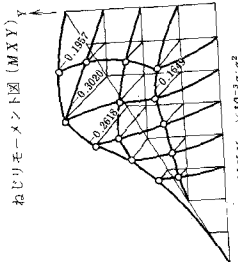
せん断力図

図 - 2



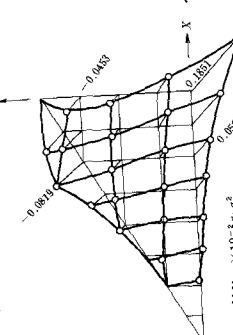
$M X : \times 10^{-4} q_o a^2$

$W : \times 10^{-4} q_o a^4 / D$



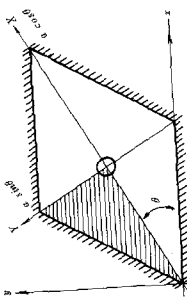
$M X Y : \times 10^{-3} q_o a^2$

曲げモーメント図 ( $M Y$ )



せん断力図 ( $Q X$ )

$Q X : \times 10^{-1} q_o a$



Coordinate Systems

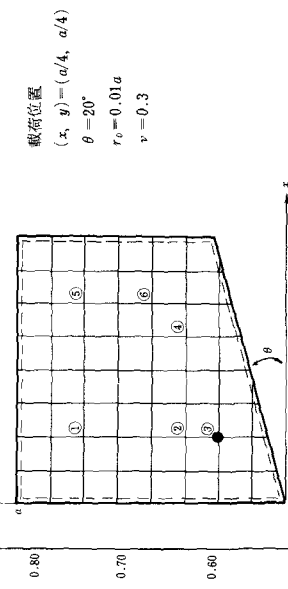
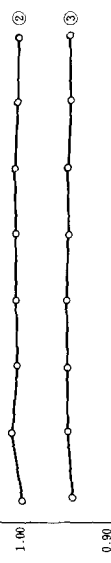
$\theta = 30^\circ$  全辺固定

載荷位置  $(X, Y) = (0, 0)$

図 - 3

台形板

円形部分荷重のたわみ( $WD/q_0a^4 \times 10^6$ )の解の収束



溝載荷重  
 ボアソン比  $\nu = 0.3$   
 係数  $q_0a^3 \times 10^{-1}$

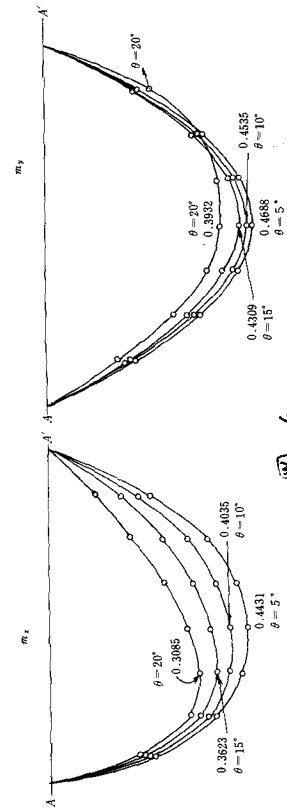
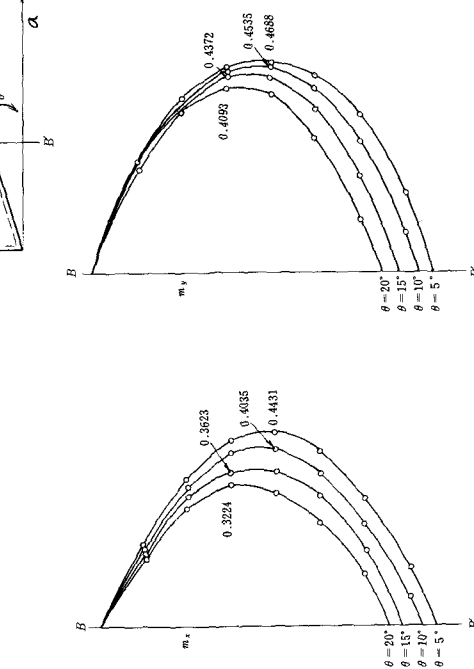


図-4

境界条件を満す点の数

図-5